



## فصلنامه علمی ((دفاع هوافضایی ))

دوره ۲، شماره ۲، شهریور ۱۴۰۲

عنوان مقالات

## مقاله پژوهشی

## طراحی و سنتز حسگر شیمیایی رنگ‌سنجدی بر پایه آرسنازوتری برای اندازه‌گیری آرژنین در محلول آبی و سرم خون انسان

حسین توللی<sup>\*</sup>، مستانه استوار<sup>۱</sup>، محمدعلی کریمی<sup>۲</sup>، ابوالفتح پرهامی<sup>۳</sup>

۱. استاد تمام گروه شیمی، دانشگاه پیام نور، تهران، ایران

۲. دانشجوی دکتری دانشگاه پیام نور، تهران، ایران

۳. استادیار، گروه شیمی، دانشگاه پیام نور، تهران، ایران

## چکیده

## اطلاعات مقاله

در چند دهه اخیر تحقیقات پژوهشی زیادی برپایه روشهای تجزیه‌ای گوناگونی در اندازه‌گیری اسیدهای آمینه در نمونه‌های محیطی و بیولوژیکی نظری سرم خون به دلیل نقش مهم آن‌ها در عملکرد اندام‌های حیاتی بدن و نیز تاثیر غیر مستقیم آن بر توان پدافند دفاعی صورت گرفته است. استفاده از روش حسگرهای شیمیایی رنگ‌سنجدی به دلیل: ساده‌گی روش، گزینش پذیری خوب، ارزانی، تجهیزات کم، عدم نیاز به پیش‌آماده نمونه، قابل استفاده برای همه نمونه‌ها خصوصاً نمونه‌های بیولوژیکی و تشخیص با چشم برهنه توجه بسیاری از محققین را جلب کرده است. در این پژوهش از روش رنگ‌سنجدی بر پایه آرسنازوتری (۲-۷- آرسنوفنیل) آزو<sup>۱</sup>-۸، آزو<sup>۲</sup>-۶، دی‌هیدروکسی-۳-فنالن دی‌سولفوریک اسید) (به عنوان حسگر شیمیایی رنگ‌سنجدی) برای تعیین آرژنین در محیط آبی استفاده شد. افزایش آرژنین به محلول آرسنازوتری باعث تغییر رنگ قابل مشاهده از قرمز به بنفش و کاهش جذب در طول موج ۵۳۶ نانومتر گردید. نقطه‌ای ایزوپستیک در ۵۸۰ نانومتر مشاهده شد که گویای برهمنکش بین آرسنازوتری و آرژنین می‌باشد. محدوده دینامیکی خطی برای آزمایش جذب UV-Vis ۱۵-۱۵-۳۴۰ نانومتر گردید. حد تشخیص نیز به ۰/۰۴ میکرومول بر لیتر محاسبه شد. این روش برای تعیین آرژنین در نمونه‌های محیطی به کار گرفته شد که نتایج رضایت‌بخشی داشت.

تاریخ پذیرش: ۱۴۰۲/۰۵/۳۰

تاریخ دریافت: ۱۴۰۱/۱۱/۲۲

## کلمات کلیدی:

حسگر شیمیایی، رنگ‌سنجدی، آرسنازوتری، آرژنین.



نویسنده مسئول:

حسین توللی  
Tavallali@pnu.ac.ir

**استناد به مقاله:** حسین توللی، مستانه استوار، محمدعلی کریمی، ابوالفتح پرهامی، طراحی و سنتز حسگر شیمیایی رنگ‌سنجدی برای آرسنازوتری برای اندازه‌گیری آرژنین در محلول آبی و سرم خون انسان، مجله علمی پژوهشی دفاع هوافضایی، دوره ۲، شماره ۲، شهریور ۱۴۰۲



## Design and Synthesis of Colorimetric Chemosensor based on ArsenazoIII (AAIII) for measuring Arginine in aqueous solution and human blood serum.

**Hosain Tavallali, Mastaneh Ostovar, Mohamad Ali Karimi and Abolfath Parhami**

1 , 3. Full Professor, Department of Chemistry, Payam Noor University, Tehran, Iran

2. Doctoral student of Payam Noor University, Tehran, Iran

4. Assistant Professor, Department of Chemistry, Payam Noor University, Tehran, Iran

### Article Information

Accepted: 1402/05/30  
Received: 1401/11/22

### Keywords:

Chemosensor,  
Colorimetry,  
ArsenazoIII, Arginine



Corresponding author:  
Hosain Tavallali  
Email:

*Tavallali@pnu.ac.ir*

### Abstract

In the last few decades, a lot of research has been done based on various analytical methods in the measurement of amino acids in environmental and biological samples such as blood serum due to their important role in the functioning of the body's vital organs and also its indirect effect on the defense power. The use of colorimetric chemical sensors has attracted the attention of many researchers due to the simplicity of the method, good selectivity, cheapness, low equipment, no need for pre-preparation of the sample, usable for all samples, especially biological samples and detection with the naked eye. In this research, the colorimetric method based on ArsenazoIII (2,7-bis[(2-aronophenyl) azo]-1,8-dihydroxy-3,6-naphthalenedisulfonic acid) (AAIII) (as a colorimetric chemical sensor) was used to determine arginine in aqueous medium. The addition of arginine to AAIII solution caused a visible color change from red to purple and a decrease in absorption at 536 nm wavelength. An isosbestic point was observed at 580 nm, which indicates the interaction between AAIII and arginine. The linear dynamic range for the UV-Vis absorption test was  $15\text{-}340 \mu\text{mol L}^{-1}$ . The detection limit was calculated to be  $0.04 \mu\text{mol L}^{-1}$ . This method was used to determine arginine in environmental, which had satisfactory results.

**HOW TO CITE:** Hosain Tavallali, Mastaneh Ostovar, Mohamad Ali Karimi and Abolfath Parhami, Design and Synthesis of Colorimetric Chemosensor based on ArsenazoIII (AAIII) for measuring Arginine in aqueous solution and human blood serum., , Journal of Airspace Defense, Vol. 2, No 2, 1402.

## ۱. مقدمه

با توجه به گستردگی و تنوع کاربرد، حسگرهای شیمیایی با قابلیت استفاده از فناوری الکترونیکی و نوری موجود در شناسایی و اندازه‌گیری گونه‌های زیست - محیطی و بیولوژیکی در چند دهه‌ی اخیر یکی از پیشرفته‌ترین ابزارها در شیمی تجزیه محسوب می‌شود. قسمت اصلی یک حسگر شیمیایی، عنصر حسگر است، که در اثر برهمکنش با آنالیت (گونه مورد اندازه گیری) منجر به تولید سیگنال الکتریکی می‌شود، سپس این سیگنال تقویت و پردازش می‌شود. بنابراین عمل حسگرهای شیمیایی شامل دو مرحله اصلی تشخیص و تقویت است. حسگرهای شیمیایی نوری جوان‌ترین حسگرهای شیمیایی هستند. در این حسگرها در بخش سیگنال‌دهنده (مبدل) از پرتو الکترومغناطیس برای ایجاد سیگنال تجزیه‌ای استفاده می‌شود. نتیجه برهمکنش این پرتو با آنالیت منجر به تغییر در یک ویژگی نوری شده که متناسب با غلظت آنالیت بوده و مورد ارزیابی قرار می‌گیرد [۱]. عملکرد حسگرهای شیمیایی نوری به عنوان مولکولی منفرد در اندازه گیری متواالی و تجزیه و تحلیل هم زمان دو یا چند آنالیت بدون نیاز به بارگزاری شناساگرهای متعدد، اخیراً موجب تمرکز پژوهش روی این نوع حسگرها شده است. حسگرهای شیمیایی رنگ سنجی از جمله حسگرهای شیمیایی نوری می‌باشد. در این نوع حسگر از شناساگری استفاده می‌شود که در اثر برهمکنش با آنالیت تغییر رنگ داده، که این تغییر رنگ به صورت اسپکتروسکوپی قابل اندازه گیری بوده و نیز با چشم غیر مسلح قابل مشاهده می‌باشد. [۲، ۳]. ویژگی‌های بارز این نوع حسگرها از جمله تولید سیگنالهای نوری در برهمکنش اختصاصی با آنالیت هدف، عملکردی ساده، حساسیت خوب، حد تشخیص کم، زمان پاسخ دهی سریع و توانایی تشخیص با چشم برهنه بدون استفاده از هیچ ابزاری منجر به استفاده گستردگی آنها شده است. به دیگر سخن، حسگرهای شیمیایی رنگ سنجی روشی ایده‌آل برای تعیین و شناسایی کیفی آنالیت‌ها برپایه تغییر رنگ و طیف جذبی می‌باشد، که با ایجاد پاسخی متمایز به آنالیت‌های بیولوژیکی و شیمیایی براساس مولکول آلی سنتزی خاص، این حسگرها جذاب تر و در طی ساده گی و گزینش پذیری قابل اعتماد تر می‌شوند.

ال آرژنین (یا آرژنین) یک اسیدآمینه نیمه ضروری است. زیرا نیاز فیزیولوژیکی بافت‌ها و اندام‌ها به آرژنین با سنتز درون زا (در بدن انسان از گلوتامین و سیتروولین تولید می‌شود) و یا با غذا تامین می‌شود [۴]. آرژنین یک پیش‌ساز ضروری برای سنتز پروتئین‌ها و مولکول‌های مهم بیولوژیکی متعددی مانند اورنیتین، پرولین، پلی‌آمین‌ها، کراتین و آگماتین است. آرژنین با خنثی کردن رادیکال‌های آزاد، روند تخریب پوست و اندام‌ها را کاهش داده و باعث درمان و ترمیم بافت آسیب دیده می‌شود، با تقویت عملکرد دفاعی بدن، رشد تومورها و پیشرفت سرطان را به تأخیر انداخته و برای افراد مبتلا به ایدز مفید است، باعث افزایش اندازه و فعالیت غده تیموس (منبع تولید لنفوцитهای T) می‌شود، برای درمان اختلال‌های کبد نظیر سیروز کبدی و کبد چرب

سودمند بوده و با خنثی کردن آمونیاک، به سمزدایی کبد کمک می‌کند، از طریق تحریک لوزالمعده در آزاد شدن انسولین به عنوان جزئی از داروی واژوپرسین به درمان دیابت خون کمک می‌کند. همچنین باعث سوختوساز گلوكز در بدن شده و حساسیت به انسولین را در افراد مبتلا به دیابت افزایش می‌دهد. ال-آرژنین پیش ساز اکسید نیتریک (NO) است. اکسید نیتریک در تمام انواع بافت‌های بدن انسان وجود داشته و نقش اساسی در عملکرد سیستم قلبی عروقی، ایمنی و عصبی ایفا می‌کند. کمبود NO بر وضعیت عمومی سیستم ایمنی بدن تأثیر منفی می‌گذارد و باعث ایجاد بیماری‌های جدی، بهویژه، فشارخون بالا، بیماری عروق کرونر قلب و آترواسکلروز می‌شود [۵]. از طرفی با مصرف بیش از حد آن مشکلاتی نظری: نقرس، نفح، درد شکم و مشکلات گوارشی، التهاب راه‌های تنفسی، کاهش فشارخون، اسهال، اختلالات خونی، آلرژی و تشدید علائم آسم ایجاد می‌شود. می‌توان گفت آرژنین نقش حیاتی زیادی در بدن دارد، کمبود آن می‌تواند عملکرد سلولی و اندامی بدن را مختل کرده و منجر به پیامدهای نامطلوب جدی برای سلامتی شود. همچنین یکی از مواد تشکیل دهنده در بسیاری از مکمل‌های غذایی است که به طور گسترده توسط پرسنل نظامی و غیرنظامی اغلب همراه با کافئین یا کراتین یا هر دو برای افزایش عملکرد فیزیولوژیکی از جمله متابولیسم عضلانی، عملکرد سیستم ایمنی، دفع ضایعات ناشی از متابولیسم پروتئین، تنظیم سیستم عروقی، بهبود و ترمیم بافت، تشکیل کلازن و ساخت استخوان و تاندون جدید، تسريع در روند بهبود رخم در افراد آسیب دیده و افزایش توان استقامتی استفاده می‌شود [۷،۶]. بنابراین اندازه‌گیری آن امری ضروری است. تاکنون روش‌های تجزیه‌ای متعددی برای اندازه‌گیری آرژنین گزارش شده است، به عنوان مثال، کروماتوگرافی مایع با کارایی بالا (HPLC) [۹، ۸]، کروماتوگرافی گازی- طیف‌سنجدی جرمی (GC-MS) [۱۰، ۱۱]، کروماتوگرافی مایع- طیف‌سنجدی جرمی (LC-MS) [۱۲]، بیوسنسور الکتروشیمی [۱۳] و الکتروفورز موبینگی [۱۴]. اکثر آنها نیاز به اپراتورهای آموزش‌دیده دارند و برخی از این روش‌ها نیز با داشتن حساسیت و گزینش‌پذیری خوب، ولی چالش‌هایی مانند: آماده‌سازی نمونه، تجهیزات پیچیده، حجم زیاد نمونه، شناساگرهای گران قیمت و سمی و یا ارزیابی ناکافی داشته و همچنین زمان بر می‌باشند. از این رو، طراحی و توسعه روشی گزینش‌پذیر، سریع پاسخ، ارزان و ساده برای تشخیص آرژنین ضروری است.

آرسنازوتری یکی از پرکاربردترین شناساگرهای فلزی است، که با تشکیل کمپلکس‌های رنگی و پایدار با یونهای فلزی در محدوده وسیع pH برای اندازه‌گیری فلزات در غلظت‌های بسیار کم استفاده شده است [۱۵، ۱۶]. تغییر در رنگ و طیف جذبی آرسنازوتری در برخی طول موج‌های خاص در ناحیه مرئی و تشخیص اولیه با چشم برهنه به محض کمپلکس شدن با گونه‌های هدف با عملکردی اختصاصی و سریع بسته به شرایط محیط آزمایش، منجر به توسعه کاربرد آن با متدهای مختلف شده است [۱۷، ۱۸]. در این پژوهه از آرسنازوتری به عنوان حسگر شیمیایی رنگ سنجدی برای تعیین آرژنین استفاده شده است.

## ۱-۱. پیشینه تحقیق

در سال ۲۰۱۸ تولی و همکارانش با روش رنگ‌سنجدی با استفاده از راکتیو بلو<sup>۱</sup> به عنوان حسگر شیمیایی رنگ‌سنجدی برای اندازه‌گیری کاتیون مس، ال – آرژنین و ال – سیستئین در محیط آبی استفاده کردند. حد تشخیص در محدوده ۱/۷۵-۹۲/۳۸ میکرومولار، برابر با ۱/۰۶ میکرومولار محاسبه گردید [۱۹].

در سال ۲۰۱۸ هانگکی و همکارانش از کومارین<sup>۲</sup> به عنوان پروب رنگ‌سنجدی و فلورسانی برای تعیین گرینشی آرژنین و لایزین در محلول بافری هیپس با pH = ۷/۱۶ استفاده کردند [۲۰].

در سال ۲۰۱۹ اسدالله محمدیا و همکارانش از تیازول به عنوان حسگر شیمیایی رنگ‌سنجدی و فلورسانی برای اندازه‌گیری آرژنین استفاده کردند. حد تشخیص گزارش شده توسط آنها به عنوان پروب رنگ‌سنجدی ۱/۶۲ میکرومولار و به عنوان پروب فلورسانی ۰/۱۹ میکرومولار می‌باشد [۲۱].

## ۲-۱. هدف از پژوهش

طراحی حسگر شیمیایی برپایه رنگ‌سنجدی گزینش‌پذیر نسبت به آرژنین با حد تشخیص مناسب، تکرارپذیری و صحت خوب، بی‌تأثیری نسبت به عوامل مزاحم محیطی، حداقل هزینه، عدم نیاز به دستگاه‌های پیچیده و گران‌قیمت و عدم نیاز به مراحل پیش آماده‌سازی نمونه می‌باشد.

در این پژوهش از آرسنازوتربی به عنوان حسگر شیمیایی رنگ‌سنجدی برای تعیین ال-آرژنین در نمونه‌های حقیقی (آب معدنی و سرم خون) بهدلیل نقش حیاتی ال-آرژنین در حفظ سلامتی و سیستم ایمنی بدن استفاده شده است. جهت افزایش حساسیت و بازده روش pH محیط آزمایش بهینه شده است.

## ۲. روش پژوهش

### ۲-۱. دستگاه‌ها، روش و مواد

دستگاه اسپکتروفوتومتر UV-Vis دوپرتوبی Shimadzu مدل PC 1601 pH متر Metrohm ساخت کشور سوییس، مدل 827 pH Lab pH Meter.

1. Reactive Blue 4  
2. Coumarin

روش بنسی-هیلدرند یک روش بسیار پرکاربرد در زمینه‌ی تعیین استوکیومتری و ثابت‌های تعادل استفاده شده است. معادله‌ی  $\frac{1}{(A-A_0)} = \frac{1}{(A_{max}-A_0)} [ \frac{1}{K_{ass}[Analyte]^n} + 1 ]$  ، معادله‌ی محاسباتی روش بنسی-هیلدرند برای به دست آوردن نسبت استوکیومتری و ثابت تشکیل ( $K_{ass}$ ) را نشان می‌دهد. در این معادله، A بیانگر جذب پذیرنده (لیگاند) در حضور آنالیت،  $A_0$  بیانگر جذب آن در عدم حضور آنالیت و  $A_{max}$  نشان دهنده ماسکسیمم جذب لیگاند یا به اصطلاح جذب اشباع لیگاند در حضور مقدار اضافی آنالیت می‌باشد. غلظت آنالیت و ثابت تشکیل کمپلکس نیز به ترتیب به صورت  $[Analyte]$  و  $K_{ass}$  نشان داده شده‌اند. که از رسم نمودار  $1/(A-A_0)$  بر حسب  $1/[Analyte]^n$ ، نسبت استوکیومتری آنالیت و حسگر (لیگاند یا مخلوط لیگاندها) به دست می‌آید. اگر نمودار  $(A-A_0)/1$  بر حسب  $[Analyte]$  (با  $n=1$ ) خطی شود، نسبت استوکیومتری آنالیت و حسگر  $1:1$  و اگر نمودار  $(A-A_0)/1$  بر حسب  $[Analyte]^2$  (با  $n=2$ ) خطی شود، نسبت استوکیومتری آنالیت و حسگر  $1:2$  خواهد بود. ثابت تشکیل ( $K_{ass}$ )، از تقسیم عرض از مبدأ خط به دست آمده به شب آن حاصل می‌شود.

آرسنازوتری به عنوان یک حسگر شیمیایی رنگ سنجی برای تعیین آرژنین به کار گرفته شد. ابتدا محلول  $10^{-5} \times 2/5$  مولار آرسنازوتری در محیط آبی (۱۰/۰ میلی مولار بافر هیپس با  $pH = 7$ ) از محلول استوک آن ساخته شد. جهت بررسی و ارزیابی تغییرات طیف جذب UV-Vis محلول آرسنازوتری با افزایش تدریجی محلول محلول  $10^{-3} \times 1/0$  مولار آرژنین به سل کوارتزی حاوی محلول  $10^{-5} \times 2/5$  مولار آرسنازوتری در دمای اتاق و دادن زمان کافی برای یکنواختی محلول حاصل، تیتر گردید.

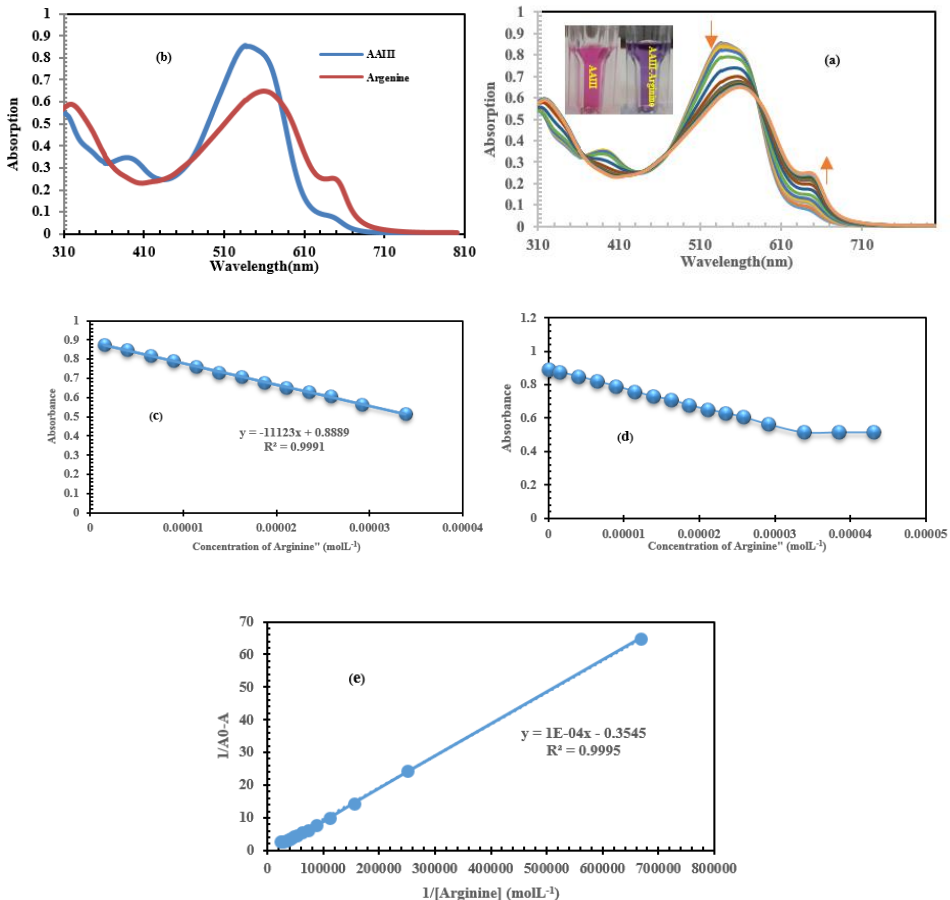
### ۳. نتایج و بحث

#### ۱-۳. پاسخ نوری AAIII به آرژنین

طیف UV-Vis محلول  $10^{-5} \times 2/5$  مولار آرسنازوتری در محیط آبی (۱۰/۰ میلی مولار بافر هیپس با  $pH = 7$ ) جذب ماکزیممی در طول موج ۵۳۶ نانومتر نشان می‌دهد. با افزایش تدریجی آرژنین (۴۳/۰ - ۱/۵۰ میکرومولار) به محلول آرسنازوتری، شدت جذب در طول موج ۵۳۶ نانومتر کاهش یافته، به سمت طول موج‌های بلندتر جابجا می‌شود. بنابراین باند جذبی جدیدی در ۵۵۹ نانومتر تشکیل می‌شود. ردشیفت در طول موج ماکزیمم از ۵۳۶ به ۵۵۹ نانومتر با تغییر آنی رنگ محلول آرسنازوتری از قرمز به بنفش همراه می‌باشد (شکل ۱ نمودارهای a، b و d). نقطه واضح ایزوبستیک در ۵۸۰ نانومتر، پیوند بین آرسنازوتری و آرژنین را نشان می‌دهد (شکل ۱ نمودار a). تغییرات جذب در ۵۳۶ نانومتر در محدوده غلظتی (۳۳/۸ - ۱/۵۰ میکرومولار) آرژنین خطی بوده (شکل ۱ نمودار

۳) و حد تشخیص آن نیز  $4 \times 10^{-5}$  میکرومولار محاسبه گردید. نسبت استوکیومتری ۱ به ۱ برای کمپلکس آرسنازوتری - آرژنین با تیتراسیون UV-Vis تعیین شد که توسط متدهای بنسی هیلد براند تایید شد (شکل ۱ نمودار e). ثابت تشکیل کمپلکس فوق با معادله بنسی هیلد براند  $3 \times 10^{-3} \text{ M}^{-1}$  لیتر بر مول محاسبه شد.

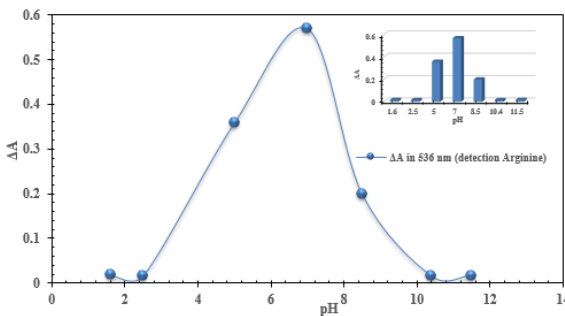
$$\frac{1}{A_0+A} = \frac{1}{A_{max}+A_0} \left[ \frac{1}{K_{ass}[M]^n} + 1 \right] \quad (1)$$



شکل ۱: a و b) طیف UV-Vis محلول  $10^{-5} \text{ M}$  مولار آرسنازوتری در محیط آبی (۱۰٪ میلی مولار بافر هیپس با ۷ pH) به مجرد افزایش تدریجی آرژنین ( $4 \times 10^{-5}$  میکرومولار) به محلول آرسنازوتری. c) محدوده خطی تغییرات جذب در ۵۳۶ نانومتر با افزایش تدریجی آرژنین. d) تغییرات جذب در ۵۳۶ نانومتر با افزایش تدریجی آرژنین. e) نمودار بنسی هیلد براند  $1/[\text{Arginine}]$  بر حسب  $1/(A_0 - A)$  در ۵۳۶ نانومتر را نشان می‌دهد.

### ۳-۲. بررسی اثر pH روی کارایی آرسنازوتری

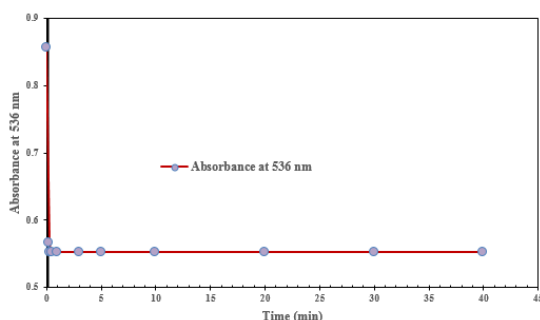
تحقیقات علمی نشان می‌دهد که انتخاب پذیری و کارایی تشخیص آنالیت توسط یک پذیرنده به شدت تحت تاثیر pH محیط است. بنابراین طیف UV-Vis محلول آرسنازوتری جهت بررسی اثر pH روی پاسخ آرسنازوتری به آرژنین در pH های مختلف (۱۲-۲) مورد بررسی قرار گرفت. بیشترین تغییرات جذب در  $pH = 7$  مشاهده شد. (شکل ۲). بنابراین همه مطالعات UV-Vis در  $pH = 7$  انجام شد.



شکل ۲: اثر pH روی تغییرات جذب محلول  $2/5 \times 10^{-5}$  مولار آرسنازوتری در حضور محلول (۴۳ میکرومولار) آرژنین در محیط آبی را نشان می دهد.

### ۳-۳. زمان پاسخ آرسنازوتری

عملکرد ساده و قابلیت پاسخ‌دهی سریع یکی از ویژگی‌های مهم حسگرهای شیمیایی است. در حالی که زمان پاسخ‌دهی طولانی برای آنها یک چالش محسوب می‌شود. با توجه به شکل (۳) تغییرات جذب حسگر شیمیایی آرسنازوتری در برهمکنش با آرژنین بسیار سریع بوده و در مدت زمان ۲۰ ثانیه کامل شده، و از ۴۰ ثانیه تا ۴۰ دقیقه نیز کاملاً ثابت مانده است.



شکل ۳: اثر دما روی جذب محلول  $2/5 \times 10^{-5}$  مولار آرسنازوتری در حضور محلول (۴۳ میکرومولار) آرژنین در محیط آبی با  $pH = 7$  در طول موج ۵۳۶ نانومتر را نشان می دهد.

### ۴-۳. اندازه‌گیری آرژنین در نمونه‌های آب و سرم خون

اندازه‌گیری ال-آرژنین در نمونه‌های حقیقی (آب معدنی و سرم خون) با روش پیشنهادی ارزیابی شد. ابتدا ذرات معلق موجود در نمونه‌های آب بهوسیله‌ی کاغذ صافی ۰/۴۵ میکرون حذف شده و سرم خون نیز ۳۰ برابر رقيق گردید. سپس pH این نمونه‌ها با محلول‌های هیدروکلریک اسید و سدیم هیدروکسید در محدوده ۷ تنظیم شد. مقادیر معینی از محلول استاندارد ال-آرژنین به ۱۰ میلی‌لیتر از نمونه‌های آب و سرم رقيق شده اضافه گردید. پس از افزایش حسگر آرسنازوتروی به ظرف حاوی

نمونه‌ها و ال-آرژنین غلظت ال-آرژنین محاسبه گردید. نتایج بازیافت و انحراف استاندارد نسبی گویای کارایی خوب روش پیشنهادی در تعیین ال-آرژنین در نمونه‌های حقیقی است (جدول ۱).

جدول (۱) اندازه‌گیری ال-آرژنین در نمونه‌های آب و سرم خون انسان

نمونه	مقدار آب-آرژنین اضافه شده (میکرومولار)	مقدار ال-آرژنین دست آمده (میکرومولار)	مقدار ال-آرژنین بازیافت (%)	انحراف استاندارد نسبی $S_r = \frac{S}{\bar{X}}$
آب آشامیدنی شهر شیراز	-	-	-	+/-
	۱۰۶	۵/۳ ± ۰/۲	۵/۰	-
	۹۹	۹/۹ ± ۰/۳	۱۰/۰	-
سرم خون انسان	-	-	-	+/-
	۱۰۶	۵/۳۱ ± ۰/۱	۵/۰	-
	۱۰۳	۱۰/۳۳ ± ۰/۲	۱۰/۰	-

### ۵. نتیجه‌گیری

در این پژوهش ارستازوترا بعنوان حسگر شیمیایی رنگ‌سنگی با عملکردی گزینشی، ساده و سریع برای اندازه‌گیری آرژنین معرفی شده است. این حسگر شیمیایی دردمای اتاق به خوبی در آب (بدون نیاز به حلآلی کمکی) حل شد. تغییرات سریع در رنگ و طیف جذبی آرسنازوتروی در ناحیه

طراحی و سنتز حسگر شیمیایی رنگ سنجی برپایه آرسنازوتری برای اندازه‌گیری آرژنین در محلول آبی...

مرئی و شرایط تجربی اعمال شده از ویژگی منحصر بفرد این حسگر برای شناسایی و اندازه گیری آرژنین بود. با بهینه‌سازی pH کارایی آرسنازوتری در تعیین آرژنین افزایش یافت. آرسنازوتری برای اندازه گیری آرژنین در نمونه های حقیقی با موفقیت استفاده شد.

#### ۷. قدردانی

با تشکر از دانشگاه پیام نور مرکز شیراز، که امکانات آزمایشگاهی را در اختیار اینجانب قرار دادند. و تشکر از استادی ارجمند دکتر حسین توللی، دکتر محمد علی کریمی و دکتر ابوالفتح پرهامی که در طراحی و انجام این پروژه نهایت همکاری را داشته‌اند.

#### ۶. فهرست منابع

- [1]. Y. Jiang, L. L. Sun, G. Z. Ren, X. Niu, and Z. Q. Hu, “A novel colorimetric and fluorescent iminocoumarin-based chemosensor for acetate ion and its application to living cell imaging” *Talanta*, 146, 732-736, 2016.
- [2]. H. Tavallali, G. Deilamy-Rad, A. Parhami, K. Asghari, and A. Ahmadi, “Bismuth triggered selective colorimetric naked-eye detection for oxalate ions based on bromopyrogallol red that works as a molecular keypad lock” *International Journal of Environmental Analytical Chemistry*, 101(5), 648-667, 2021.
- [3]. H. Tavallali, G. Deilamy-Rad, and N. Mosallanejad, “Reactive blue 4 as a Single colorimetric chemosensor for sequential determination of multiple analytes with different optical responses in aqueous media: Cu<sup>2+</sup>-cysteine using a metal ion displacement and Cu<sup>2+</sup>-arginine through the host-guest interaction” *Applied biochemistry and biotechnology*, 187, 913-937, 2019.
- [4]. N. Kurhaluk, “The Effectiveness of L-arginine in Clinical Conditions Associated with Hypoxia” *International Journal of Molecular Sciences*, 24(9), 8205, 2023.
- [5]. O. V. Soldatkina, O. O. Soldatkin, T. P. Velychko, V. O. Prilipko, M. A. Kuibida, and S. V. Dzyadevych, “Conductometric biosensor for arginine determination in pharmaceuticals” *Bioelectrochemistry*, 124, 40-46, 2018.
- [6]. R. Soliman Elsharkawy, and M. Mohamed Rabia, “The Impact of a Training Program for Development Strength Endurance with Taking L-Arginine on Body Composition and 5000m Running Records” *Journal of Applied Sports Science*, 5(2), 8-17, 2015.
- [7]. N. Hill, J. Fallowfield, S. Price, and D. Wilson, “Military nutrition: maintaining health and rebuilding injured tissue” *Philosophical Transactions of the Royal Society B: Biological Sciences*, 366(1562), 231-240, 2011.

- [8]. M. Suzuki, M. Furuhashi, S. Sesoko, K. Kosuge, T. Maeda, K. Todoroki, and T. Toyo'oka, "Determination of creatinine-related molecules in saliva by reversed-phase liquid chromatography with tandem mass spectrometry and the evaluation of hemodialysis in chronic kidney disease patients" *Analytica chimica acta*, 911, 92-99, 2016.
- [9]. L. Shkotova, O. Soldatkin, V. Arkhypova, V. Peshkova, O. Saiapina, T. Sergeyeva, and S. Dzyadevych, "Biosensors Practical Application" In *Bioconversion of Wastes to Value-added Products* (pp. 305-352). CRC Press.
- [10]. E. Hanff, A. A. Kayacelebi, G. R. Yanchev, N. Maassen, A. Haghikia, and D. Tsikas, "Simultaneous stable-isotope dilution GC-MS measurement of homoarginine, guanidinoacetate and their common precursor arginine in plasma and their interrelationships in healthy and diseased humans" *Amino Acids*, 48, 721-732, 2016.
- [11]. A. A. Kayacelebi, A. K. Knöfel, B. Beckmann, E. Hanff, G. Warnecke, and D. Tsikas, "Measurement of unlabeled and stable isotope-labeled homoarginine, arginine and their metabolites in biological samples by GC-MS and GC-MS/MS" *Amino Acids*, 47, 2023-2034, 2015.
- [12]. H. Chen, L. Gu, Y. Yin, K. Koh, and J. Lee, "Molecular recognition of arginine by supramolecular complexation with calixarene crown ether based on surface plasmon resonance" *International Journal of Molecular Sciences*, 12(4), 2315-2324, 2011.
- [13]. V. Arkhypova, O. Soldatkin, A. Soldatkin, and S. Dzyadevych, "Electrochemical Biosensors Based on Enzyme Inhibition Effect" *The Chemical Record*, e202300214, 2023.
- [14]. B. M, Costa, A. A. Prado, T. C. Oliveira, L. P. Bressan, R. A. Munoz, A. D. Batista and E. M. Richter, "Fast methods for simultaneous determination of arginine, ascorbic acid and aspartic acid by capillary electrophoresis" *Talanta*, 204, 353-358, 2019.
- [15]. Y. Liang, and Y. He, "Arsenazo III-functionalized gold nanoparticles for photometric determination of uranyl ion" *Microchimica Acta*, 183, 407-413, 2016.
- [16]. R. Yadav, B. N. Pandey, and A. Kumar, "Estimation and in-situ detection of thorium in human liver cell culture by arsenazo-III based colorimetric assay" *Biometals*, 33, 75-85, 2020.
- [17]. L. Vladimir, B. Olga, M. Sergey, B. Elena, K. Nikolay, and S. Aleksandr, "Novel silica based adsorbent layer-by-layer modified with polyhexamethylene guanidine and Arsenazo reagents for solid-phase extraction of lanthanides from lignites and products of their processing, 2020.
- [18]. N. Garg, L. Rastogi, S. Bera, A. Ballal, and M. V. Balramkrishna, "ArsenazoIII functionalized gold nanoparticles: SPR based optical sensor for

determination of uranyl ions ( $\text{UO}_2^{2+}$ ) in groundwater” Green Analytical Chemistry, 3, 100032, 2022.

[19]. H. Tavallali, G. Deilamy-Rad, and N. Mosallanejad, “Reactive blue 4 as a Single colorimetric chemosensor for sequential determination of multiple analytes with different optical responses in aqueous media:  $\text{Cu}^{2+}$ -cysteine using a metal ion displacement and  $\text{Cu}^{2+}$ -arginine through the host-guest interaction” Applied biochemistry and biotechnology, 187, 913-937, 2019.

[20]. H. Li, X. Sun, T. Zheng, Z. Xu, Y. Song, and X. Gu, “Coumarin-based multifunctional chemosensor for arginine/lysine and  $\text{Cu}^{2+}/\text{Al}^{3+}$  ions and its  $\text{Cu}^{2+}$  complex as colorimetric and fluorescent sensor for biothiols” Sensors and Actuators B: Chemical, 279, 400-409, 2019.

[21]. A. Mohammadi, S. Khoshroo, and B. Khalili, “Rapid, sensitive and selective detection of arginine using a simple azo-based colorimetric and fluorescent chemosensor” Journal of Photochemistry and Photobiology A: Chemistry, 384, 112035, 2019.